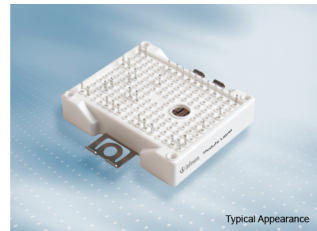


## Preliminary datasheet

### EasyPACK™ モジュール CoolSiC™ Trench MOSFET 内蔵と PressFIT / NTC サーミスタ

#### 特徴

- 電気的特性
  - $V_{DSS} = 1200 \text{ V}$
  - $I_{DN} = 100 \text{ A} / I_{DRM} = 200 \text{ A}$
  - 増加された DC リンク電圧
  - 高い電流密度
  - 低スイッチング損失
- 機械的特性
  - 固定用クランプによる強固なマウンティング
  - PressFIT 接合 技術
  - 内蔵された NTC サーミスタ



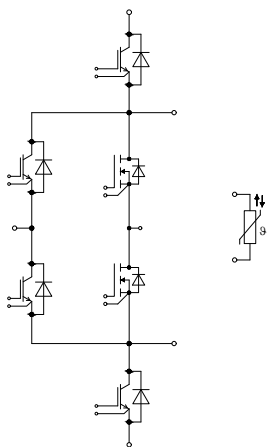
#### 可能性のある用途

- 3レベル アプリケーション
- 高周波スイッチングアプリケーション
- ソーラーアプリケーション

#### 製品検証

- IEC 60747、60749、および 60068 の関連試験に準拠して産業用アプリケーションに適合

#### 詳細



目次	1
詳細	1
特徴	1
可能性のある用途	1
製品検証	1
目次	2
1   ハウジング	3
2   MOSFET	3
3   Body diode	5
4   IGBT、スリー・レベル	5
5   ダイオード、スリー・レベル	7
6   NTC-サーミスタ	8
7   特性図	9
8   回路図	16
9   パッケージ外形図	17
10   モジュールラベルコード	18
改訂履歴	19
免責事項	20

## 1 ハウジング

### 1 ハウジング

表 1 絶縁協調

項目	記号	条件及び注記	定格値	単位
絶縁耐圧	$V_{ISOL}$	RMS, $f = 50 \text{ Hz}$ , $t = 1 \text{ min}$	3.0	kV
内部絶縁		基礎絶縁 (クラス 1, IEC 61140)	$\text{Al}_2\text{O}_3$	
沿面距離	$d_{Creep}$	ターミナル - ヒートシンク間	11.5	mm
沿面距離	$d_{Creep}$	ターミナル - ターミナル間	6.3	mm
空間距離	$d_{Clear}$	ターミナル - ヒートシンク間	10.0	mm
空間距離	$d_{Clear}$	ターミナル - ターミナル間	5.0	mm
相対トラッキング指数	$CTI$		> 200	
相対温度指数 (電気)	$RTI$	住宅	140	°C

表 2 電気的特性

項目	記号	条件及び注記	規格値			単位
			最小	標準	最大	
内部インダクタンス	$L_{sCE}$			15		nH
保存温度	$T_{stg}$		-40		125	°C
Mounting force per clamp	$F$		40		80	N
質量	$G$			39		g

注: The current under continuous operation is limited to 25 A rms per connector pin.

## 2 MOSFET

表 3 最大定格

項目	記号	条件及び注記	定格値	単位
ドレイン・ソース間電圧	$V_{DSS}$	$T_{vj} = 25 \text{ °C}$	1200	V
内蔵チップドレイン電流	$I_{DN}$		100	A
連続 DC ドレイン電流	$I_{DDC}$	$T_{vj} = 175 \text{ °C}$ , $V_{GS} = 15 \text{ V}$	85	A
繰返しピークドレイン電流	$I_{DRM}$	verified by design, $t_p$ limited by $T_{vjmax}$	200	A
ゲート-ソース間電圧(最大過渡電圧)	$V_{GS}$	$D < 0.01$	-10/23	V

表 4 電気的特性

項目	記号	条件及び注記	規格値			単位
			最小	標準	最大	
ドレイン・ソース間オン抵抗	$R_{DS(on)}$	$I_D = 100 \text{ A}$	$V_{GS} = 15 \text{ V}$ , $T_{vj} = 25^\circ\text{C}$		11.3	mΩ
			$V_{GS} = 15 \text{ V}$ , $T_{vj} = 125^\circ\text{C}$		14.8	
			$V_{GS} = 15 \text{ V}$ , $T_{vj} = 150^\circ\text{C}$		16.5	
ゲート・エミッタ間しきい値電圧	$V_{GS(th)}$	$I_D = 40 \text{ mA}$ , $V_{DS} = V_{GS}$ , $T_{vj} = 25^\circ\text{C}$ , (tested after 1ms pulse at $V_{GS} = +20 \text{ V}$ )	3.45	4.5	5.15	V
ゲート電荷量	$Q_G$	$V_{DD} = 800 \text{ V}$ , $V_{GS} = -5/15 \text{ V}$		0.277		μC
内蔵ゲート抵抗	$R_{Gint}$	$T_{vj} = 25^\circ\text{C}$		2		Ω
入力容量	$C_{ISS}$	$f = 100 \text{ kHz}$ , $V_{DS} = 800 \text{ V}$ , $V_{GS} = 0 \text{ V}$	$T_{vj} = 25^\circ\text{C}$		8.8	nF
出力容量	$C_{OSS}$	$f = 100 \text{ kHz}$ , $V_{DS} = 800 \text{ V}$ , $V_{GS} = 0 \text{ V}$	$T_{vj} = 25^\circ\text{C}$		0.42	nF
帰還容量	$C_{rss}$	$f = 100 \text{ kHz}$ , $V_{DS} = 800 \text{ V}$ , $V_{GS} = 0 \text{ V}$	$T_{vj} = 25^\circ\text{C}$		0.028	nF
$C_{OSS}$ 保存エネルギー	$E_{OSS}$	$V_{DS} = 800 \text{ V}$ , $V_{GS} = -5/15 \text{ V}$ , $T_{vj} = 25^\circ\text{C}$		176		μJ
ドレイン-ソースリーク電流	$I_{DSS}$	$V_{DS} = 1200 \text{ V}$ , $V_{GS} = -5 \text{ V}$	$T_{vj} = 25^\circ\text{C}$	0.4	380	μA
ゲート・ソース間漏れ電流	$I_{GSS}$	$V_{DS} = 0 \text{ V}$ , $T_{vj} = 25^\circ\text{C}$	$V_{GS} = 20 \text{ V}$		400	nA
ターンオン遅延時間(誘導負荷)	$t_{d\ on}$	$I_D = 100 \text{ A}$ , $R_{Gon} = 3.9 \Omega$ , $V_{DD} = 600 \text{ V}$ , $V_{GS} = -5/15 \text{ V}$	$T_{vj} = 25^\circ\text{C}$		45.1	ns
			$T_{vj} = 125^\circ\text{C}$		43.9	
			$T_{vj} = 150^\circ\text{C}$		42	
ターンオン上昇時間(誘導負荷)	$t_r$	$I_D = 100 \text{ A}$ , $R_{Gon} = 3.9 \Omega$ , $V_{DD} = 600 \text{ V}$ , $V_{GS} = -5/15 \text{ V}$	$T_{vj} = 25^\circ\text{C}$		25.5	ns
			$T_{vj} = 125^\circ\text{C}$		25.3	
			$T_{vj} = 150^\circ\text{C}$		24.4	
ターンオフ遅延時間(誘導負荷)	$t_{d\ off}$	$I_D = 100 \text{ A}$ , $R_{Goff} = 3.9 \Omega$ , $V_{DD} = 600 \text{ V}$ , $V_{GS} = -5/15 \text{ V}$	$T_{vj} = 25^\circ\text{C}$		84.2	ns
			$T_{vj} = 125^\circ\text{C}$		86.7	
			$T_{vj} = 150^\circ\text{C}$		87.5	
ターンオフ下降時間(誘導負荷)	$t_f$	$I_D = 100 \text{ A}$ , $R_{Goff} = 3.9 \Omega$ , $V_{DD} = 600 \text{ V}$ , $V_{GS} = -5/15 \text{ V}$	$T_{vj} = 25^\circ\text{C}$		32.2	ns
			$T_{vj} = 125^\circ\text{C}$		35.5	
			$T_{vj} = 150^\circ\text{C}$		37.3	
ターンオンスイッチング損失	$E_{on}$	$I_D = 100 \text{ A}$ , $V_{DD} = 600 \text{ V}$ , $L_\sigma = 35 \text{ nH}$ , $V_{GS} = -5/15 \text{ V}$ , $R_{Gon} = 3.9 \Omega$ , $di/dt = 4.5 \text{ kA}/\mu\text{s}$ ( $T_{vj} = 150^\circ\text{C}$ )	$T_{vj} = 25^\circ\text{C}$		1	mJ
			$T_{vj} = 125^\circ\text{C}$		1.15	
			$T_{vj} = 150^\circ\text{C}$		1.24	

(続く)

表 4 (続き) 電気的特性

項目	記号	条件及び注記	規格値			単位
			最小	標準	最大	
ターンオフスイッチング損失	$E_{off}$	$I_D = 100 \text{ A}$ , $V_{DD} = 600 \text{ V}$ , $L_\sigma = 35 \text{ nH}$ , $V_{GS} = -5/15 \text{ V}$ , $R_{Goff} = 3.9 \Omega$ , $dv/dt = 21 \text{ kV}/\mu\text{s}$ ( $T_{vj} = 150^\circ\text{C}$ )	$T_{vj} = 25^\circ\text{C}$		1.62	mJ
			$T_{vj} = 125^\circ\text{C}$		1.85	
			$T_{vj} = 150^\circ\text{C}$		1.93	
ジャンクション・ヒートシンク間熱抵抗	$R_{thJH}$	MOSFET(1素子当り)		0.58		K/W
動作温度	$T_{vj op}$		-40		150	°C

注: The selection of positive and negative gate-source voltages impacts losses and the long-term behavior of the MOSFET and body diode. The design guidelines described in Application Note AN 2018-09 and AN 2021-13 must be considered to ensure sound operation of the device over the planned lifetime.

### 3 Body diode

表 5 最大定格

項目	記号	条件及び注記	定格値	単位
Body diode 順方向電圧	$I_{SD}$	$T_{vj} = 175^\circ\text{C}$ , $V_{GS} = -5 \text{ V}$	32	A

表 6 電気的特性

項目	記号	条件及び注記	規格値			単位
			最小	標準	最大	
順電圧	$V_{SD}$	$I_{SD} = 100 \text{ A}$ , $V_{GS} = -5 \text{ V}$	$T_{vj} = 25^\circ\text{C}$		4.6	5.65
			$T_{vj} = 125^\circ\text{C}$		4.35	
			$T_{vj} = 150^\circ\text{C}$		4.3	

### 4 IGBT、スリー・レベル

表 7 最大定格

項目	記号	条件及び注記	定格値	単位
コレクタ・エミッタ間電圧	$V_{CES}$		1200	V
コレクタ電流	$I_{CN}$		100	A
連続 DC コレクタ電流	$I_{CDC}$	$T_{vj max} = 175^\circ\text{C}$	60	A
繰り返しピークコレクタ電流	$I_{CRM}$	$t_p$ は $T_{vj op}$ に制約される	200	A
ゲート・エミッタ間ピーク電圧	$V_{GES}$		±20	V

表 8 電気的特性

項目	記号	条件及び注記	規格値			単位
			最小	標準	最大	
コレクタ・エミッタ間飽和電圧	$V_{CE\text{sat}}$	$I_C = 100 \text{ A}, V_{GE} = 15 \text{ V}$	$T_{vj} = 25^\circ\text{C}$		1.50	TBD
			$T_{vj} = 125^\circ\text{C}$		1.64	
			$T_{vj} = 175^\circ\text{C}$		1.72	
ゲート・エミッタ間しきい値電圧	$V_{GE\text{th}}$	$I_C = 2.5 \text{ mA}, V_{CE} = V_{GE}, T_{vj} = 25^\circ\text{C}$	5.15	5.80	6.45	V
ゲート電荷量	$Q_G$	$V_{GE} = \pm 15 \text{ V}, V_{CC} = 600 \text{ V}$		1.8		$\mu\text{C}$
内蔵ゲート抵抗	$R_{Gint}$	$T_{vj} = 25^\circ\text{C}$		1.5		$\Omega$
入力容量	$C_{ies}$	$f = 100 \text{ kHz}, T_{vj} = 25^\circ\text{C}, V_{CE} = 25 \text{ V}, V_{GE} = 0 \text{ V}$		21.7		$\text{nF}$
帰還容量	$C_{res}$	$f = 100 \text{ kHz}, T_{vj} = 25^\circ\text{C}, V_{CE} = 25 \text{ V}, V_{GE} = 0 \text{ V}$		0.076		$\text{nF}$
コレクタ・エミッタ間遮断電流	$I_{CES}$	$V_{CE} = 1200 \text{ V}, V_{GE} = 0 \text{ V}$	$T_{vj} = 25^\circ\text{C}$		0.009	mA
ゲート・エミッタ間漏れ電流	$I_{GES}$	$V_{CE} = 0 \text{ V}, V_{GE} = 20 \text{ V}, T_{vj} = 25^\circ\text{C}$			100	nA
ターンオン遅延時間(誘導負荷)	$t_{don}$	$I_C = 100 \text{ A}, V_{CC} = 600 \text{ V}, V_{GE} = \pm 15 \text{ V}, R_{Gon} = 1.8 \Omega$	$T_{vj} = 25^\circ\text{C}$		0.153	$\mu\text{s}$
			$T_{vj} = 125^\circ\text{C}$		0.166	
			$T_{vj} = 175^\circ\text{C}$		0.174	
ターンオン上昇時間(誘導負荷)	$t_r$	$I_C = 100 \text{ A}, V_{CC} = 600 \text{ V}, V_{GE} = \pm 15 \text{ V}, R_{Gon} = 1.8 \Omega$	$T_{vj} = 25^\circ\text{C}$		0.033	$\mu\text{s}$
			$T_{vj} = 125^\circ\text{C}$		0.037	
			$T_{vj} = 175^\circ\text{C}$		0.040	
ターンオフ遅延時間(誘導負荷)	$t_{doff}$	$I_C = 100 \text{ A}, V_{CC} = 600 \text{ V}, V_{GE} = \pm 15 \text{ V}, R_{Goff} = 1.8 \Omega$	$T_{vj} = 25^\circ\text{C}$		0.283	$\mu\text{s}$
			$T_{vj} = 125^\circ\text{C}$		0.368	
			$T_{vj} = 175^\circ\text{C}$		0.421	
ターンオフ下降時間(誘導負荷)	$t_f$	$I_C = 100 \text{ A}, V_{CC} = 600 \text{ V}, V_{GE} = \pm 15 \text{ V}, R_{Goff} = 1.8 \Omega$	$T_{vj} = 25^\circ\text{C}$		0.149	$\mu\text{s}$
			$T_{vj} = 125^\circ\text{C}$		0.221	
			$T_{vj} = 175^\circ\text{C}$		0.273	
ターンオンスイッチング損失	$E_{on}$	$I_C = 100 \text{ A}, V_{CC} = 600 \text{ V}, L_\sigma = 35 \text{ nH}, V_{GE} = \pm 15 \text{ V}, R_{Gon} = 1.8 \Omega, di/dt = 2400 \text{ A}/\mu\text{s} (T_{vj} = 175^\circ\text{C})$	$T_{vj} = 25^\circ\text{C}$		6.75	$\text{mJ}$
			$T_{vj} = 125^\circ\text{C}$		9.8	
			$T_{vj} = 175^\circ\text{C}$		11.5	
ターンオフスイッチング損失	$E_{off}$	$I_C = 100 \text{ A}, V_{CC} = 600 \text{ V}, L_\sigma = 35 \text{ nH}, V_{GE} = \pm 15 \text{ V}, R_{Goff} = 1.8 \Omega, dv/dt = 2700 \text{ V}/\mu\text{s} (T_{vj} = 175^\circ\text{C})$	$T_{vj} = 25^\circ\text{C}$		6.6	$\text{mJ}$
			$T_{vj} = 125^\circ\text{C}$		10.2	
			$T_{vj} = 175^\circ\text{C}$		12.7	
短絡電流	$I_{SC}$	$V_{GE} \leq 15 \text{ V}, V_{CC} = 800 \text{ V}, V_{CE\text{max}} = V_{CES} - L_{sCE} * di/dt$	$t_p \leq 8 \mu\text{s}, T_{vj} \leq 150^\circ\text{C}$		370	A
			$t_p \leq 7 \mu\text{s}, T_{vj} \leq 175^\circ\text{C}$		350	

(続く)

表 8 (続き) 電気的特性

項目	記号	条件及び注記	規格値			単位
			最小	標準	最大	
ジャンクション・ヒートシンク 間熱抵抗	$R_{thJH}$	IGBT 部(1素子当り)		0.920		K/W
動作温度	$T_{vj\ op}$		-40		175	°C

注:  $T_{vj\ op} > 150^\circ\text{C}$  is allowed for operation at overload conditions. For detailed specifications, please refer to AN 2018-14

## 5 ダイオード、スリー・レベル

表 9 最大定格

項目	記号	条件及び注記	定格値			単位
ピーク繰返し逆電圧	$V_{RRM}$		$T_{vj} = 25^\circ\text{C}$			V
連続 DC 電流	$I_F$					A
ピーク繰返し順電流	$I_{FRM}$	$t_P = 1\text{ ms}$				A
電流二乗時間積	$I^2t$	$t_P = 10\text{ ms}, V_R = 0\text{ V}$	$T_{vj} = 125^\circ\text{C}$	970		$\text{A}^2\text{s}$
			$T_{vj} = 175^\circ\text{C}$	860		

表 10 電気的特性

項目	記号	条件及び注記	規格値			単位
			最小	標準	最大	
順電圧	$V_F$	$I_F = 100\text{ A}, V_{GE} = 0\text{ V}$	$T_{vj} = 25^\circ\text{C}$		1.72	TBD
			$T_{vj} = 125^\circ\text{C}$		1.59	V
			$T_{vj} = 175^\circ\text{C}$		1.52	
ピーク逆回復電流	$I_{RM}$	$V_{CC} = 600\text{ V}, I_F = 100\text{ A}, V_{GE} = -15\text{ V}, -di_F/dt = 2400\text{ A}/\mu\text{s} (T_{vj} = 175^\circ\text{C})$	$T_{vj} = 25^\circ\text{C}$		95.5	A
			$T_{vj} = 125^\circ\text{C}$		119	
			$T_{vj} = 175^\circ\text{C}$		134	
逆回復電荷量	$Q_r$	$V_{CC} = 600\text{ V}, I_F = 100\text{ A}, V_{GE} = -15\text{ V}, -di_F/dt = 2400\text{ A}/\mu\text{s} (T_{vj} = 175^\circ\text{C})$	$T_{vj} = 25^\circ\text{C}$		8.64	$\mu\text{C}$
			$T_{vj} = 125^\circ\text{C}$		15.1	
			$T_{vj} = 175^\circ\text{C}$		20	
逆回復損失	$E_{rec}$	$V_{CC} = 600\text{ V}, I_F = 100\text{ A}, V_{GE} = -15\text{ V}, -di_F/dt = 2400\text{ A}/\mu\text{s} (T_{vj} = 175^\circ\text{C})$	$T_{vj} = 25^\circ\text{C}$		3.13	mJ
			$T_{vj} = 125^\circ\text{C}$		5.83	
			$T_{vj} = 175^\circ\text{C}$		7.58	
ジャンクション・ヒートシンク 間熱抵抗	$R_{thJH}$	/Diode(1素子当り)			1.03	K/W
動作温度	$T_{vj\ op}$		-40		175	°C

注: *T<sub>vj op</sub> > 150°C is allowed for operation at overload conditions. For detailed specifications, please refer to AN 2018-14.*

## 6 NTC-サーミスタ

表 11 電気的特性

項目	記号	条件及び注記	規格値			単位
			最小	標準	最大	
定格抵抗値	$R_{25}$	$T_{NTC} = 25^{\circ}\text{C}$		5		$\text{k}\Omega$
$R_{100}$ の偏差	$\Delta R/R$	$T_{NTC} = 100^{\circ}\text{C}$ , $R_{100} = 493 \Omega$	-5		5	%
損失	$P_{25}$	$T_{NTC} = 25^{\circ}\text{C}$			20	$\text{mW}$
B-定数	$B_{25/50}$	$R_2 = R_{25} \exp[B_{25/50}(1/T_2 - 1/(298,15 \text{ K}))]$		3375		K
B-定数	$B_{25/80}$	$R_2 = R_{25} \exp[B_{25/80}(1/T_2 - 1/(298,15 \text{ K}))]$		3411		K
B-定数	$B_{25/100}$	$R_2 = R_{25} \exp[B_{25/100}(1/T_2 - 1/(298,15 \text{ K}))]$		3433		K

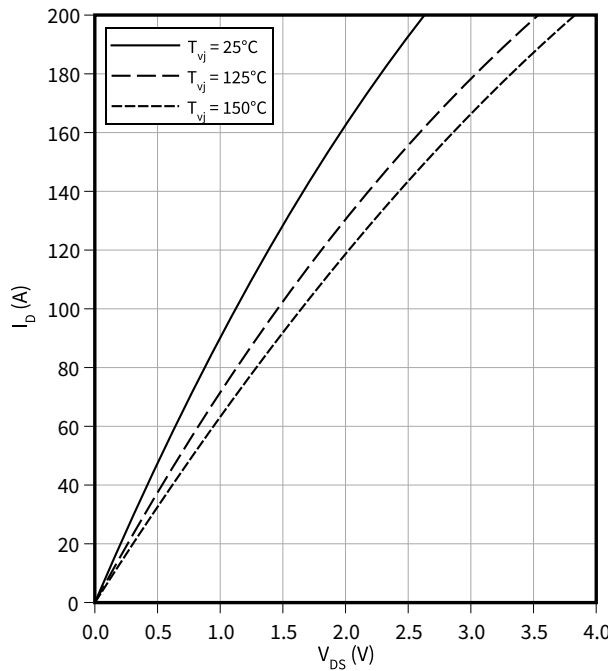
注: 適切なアプリケーションノートによる仕様

## 7 特性図

### 出力特性 (typical), MOSFET

$I_D = f(V_{DS})$

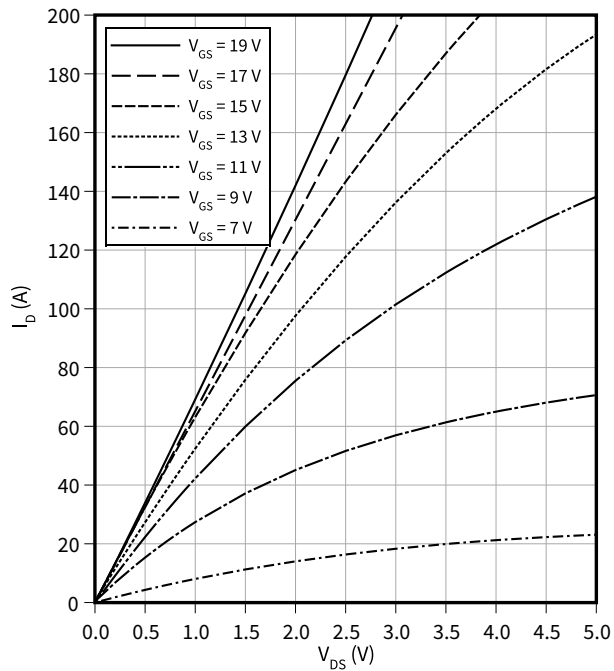
$V_{GS} = 15 \text{ V}$



### 出力特性 (typical), MOSFET

$I_D = f(V_{DS})$

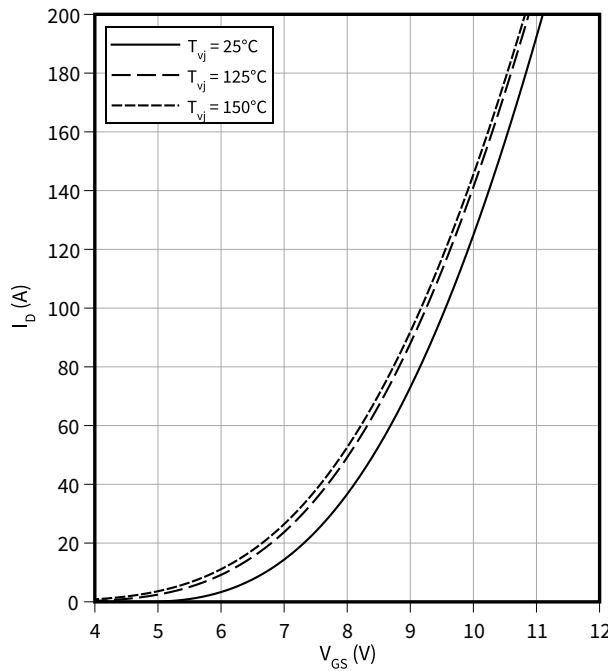
$T_{vj} = 150^\circ\text{C}$



### 伝達特性 (typical), MOSFET

$I_D = f(V_{GS})$

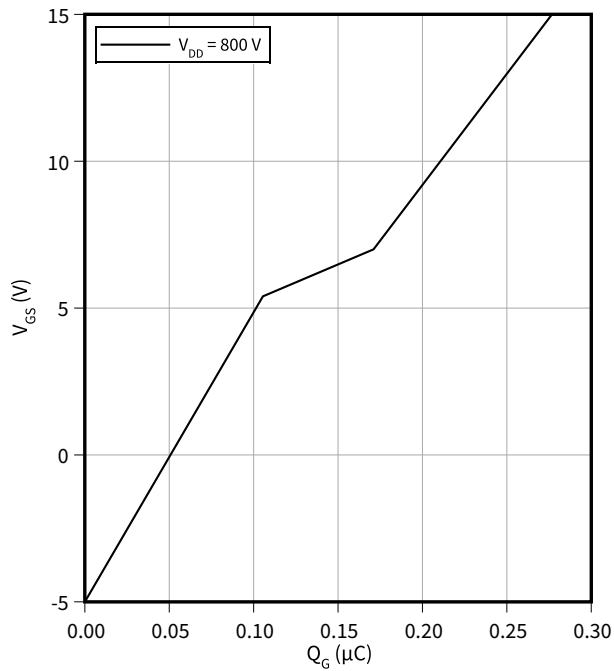
$V_{DS} = 20 \text{ V}$



### ゲート充電特性 (typical), MOSFET

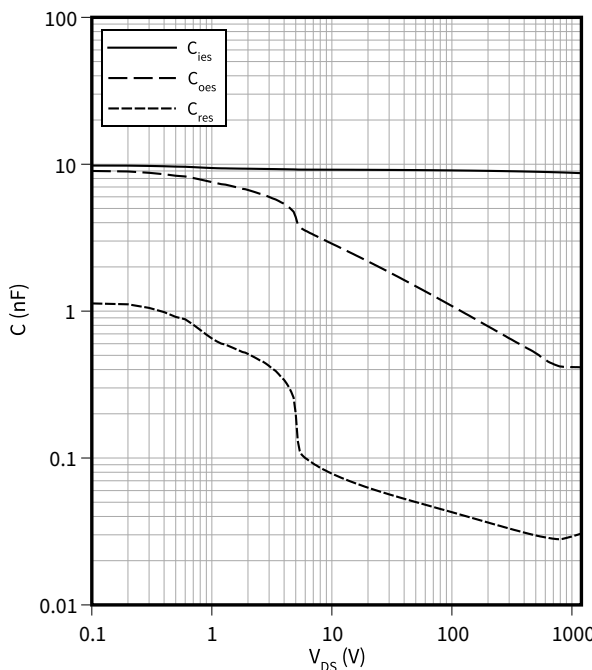
$V_{GS} = f(Q_G)$

$I_D = 100 \text{ A}, T_{vj} = 25^\circ\text{C}$

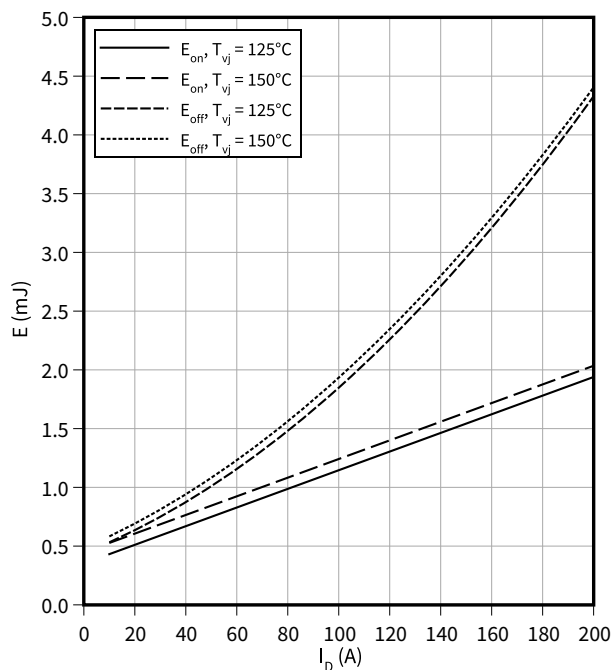


**容量特性 (typical), MOSFET**

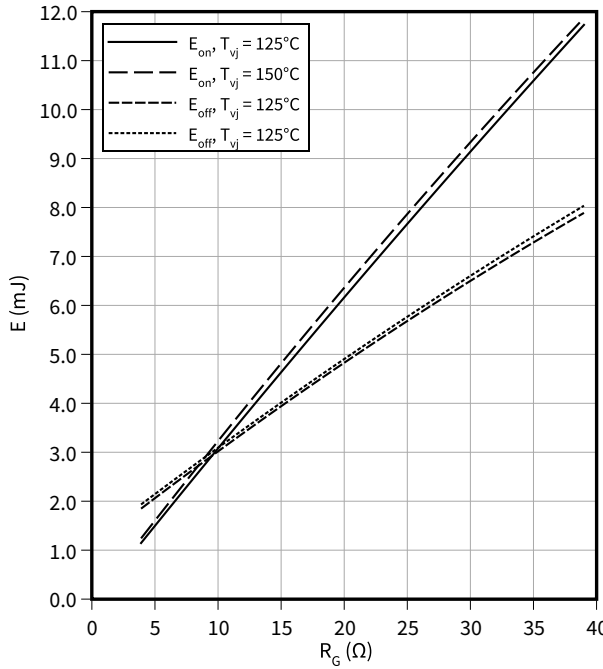
$C = f(V_{DS})$

 $f = 100 \text{ kHz}, T_{vj} = 25^\circ\text{C}, V_{GS} = 0 \text{ V}$ **スイッチング損失 (typical), MOSFET**

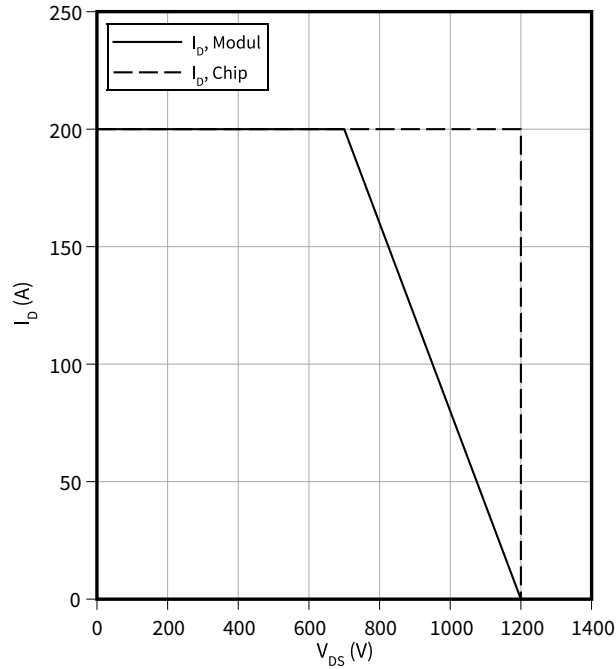
$E = f(I_D)$

 $R_{Goff} = 3.9 \Omega, R_{Gon} = 3.9 \Omega, V_{DS} = 600 \text{ V}, V_{GS} = -5/15 \text{ V}$ **スイッチング損失 (typical), MOSFET**

$E = f(R_G)$

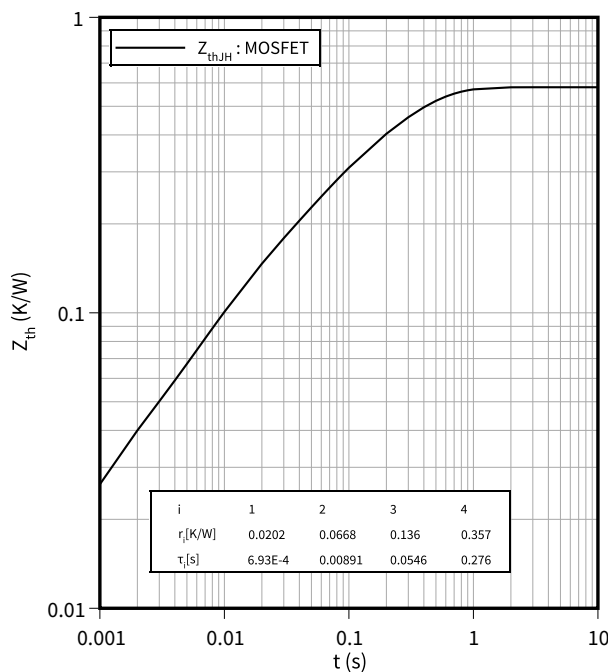
 $V_{DS} = 600 \text{ V}, I_D = 100 \text{ A}, V_{GS} = -5/15 \text{ V}$ **逆バイアス安全動作領域 (RBSOA), MOSFET**

$I_D = f(V_{DS})$

 $R_{Goff} = 3.9 \Omega, T_{vj} = 150^\circ\text{C}, V_{GS} = -5/15 \text{ V}$ 

## 過渡熱インピーダンス , MOSFET

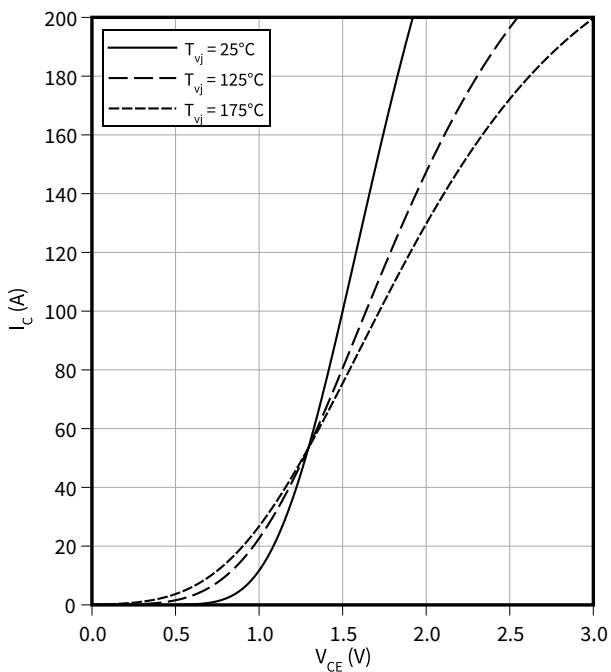
$$Z_{th} = f(t)$$



## 出力特性 (typical), IGBT、スリー・レベル

$$I_C = f(V_{CE})$$

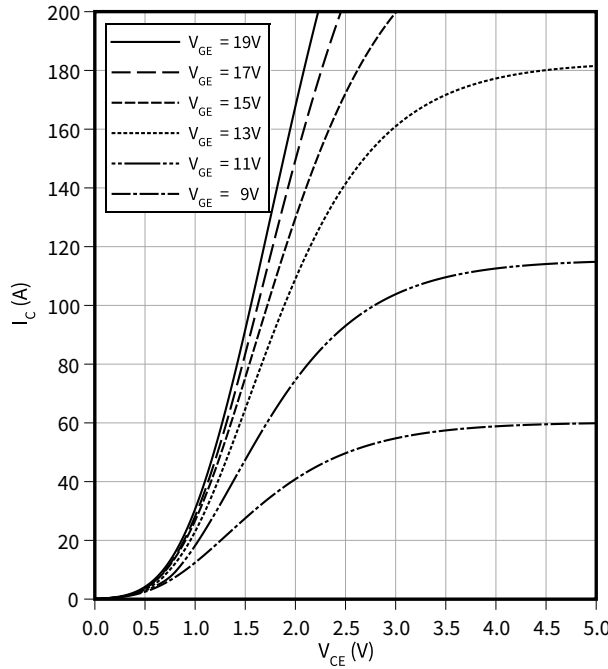
$$V_{GE} = 15 V$$



## 出力特性 (typical), IGBT、スリー・レベル

$$I_C = f(V_{CE})$$

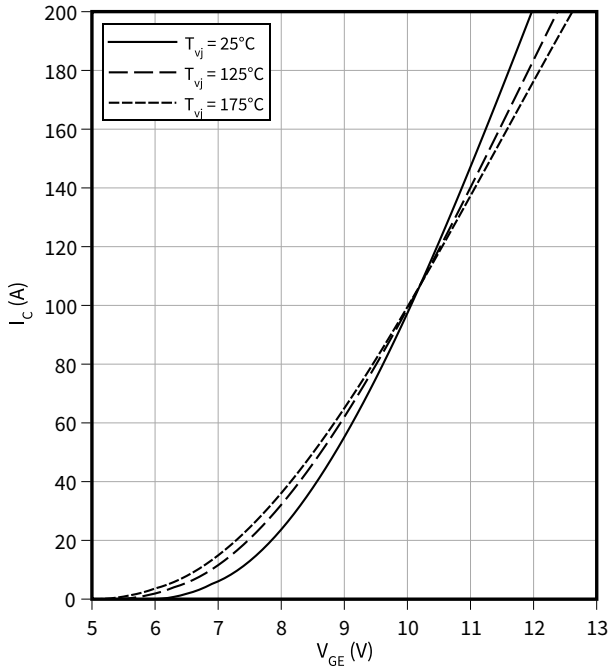
$$T_{vj} = 175^\circ C$$



## 伝達特性 (typical) , IGBT、スリー・レベル

$$I_C = f(V_{GE})$$

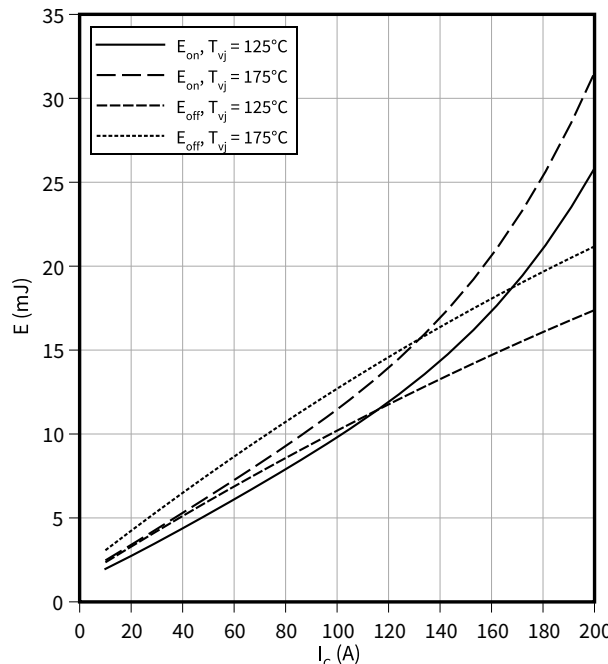
$$V_{CE} = 20 V$$



## スイッチング損失 (typical), IGBT、スリー・レベル

$$E = f(I_C)$$

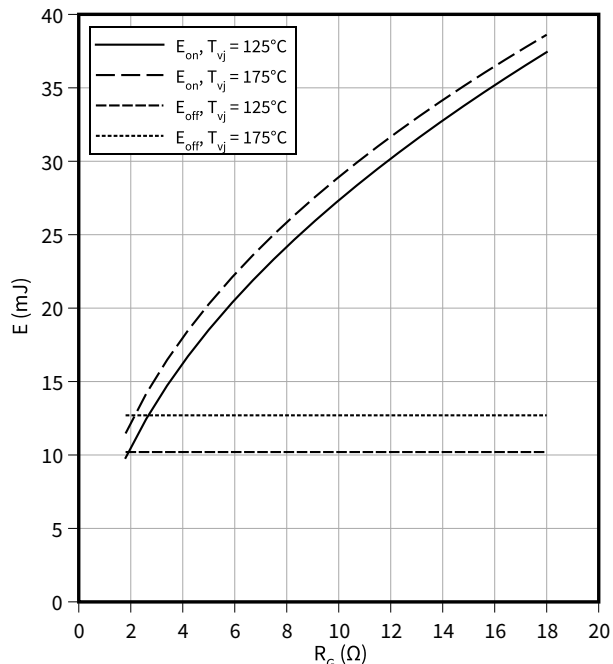
$$R_{Goff} = 1.8 \Omega, R_{Gon} = 1.8 \Omega, V_{CC} = 600 V, V_{GE} = \pm 15 V$$



## スイッチング損失 (typical), IGBT、スリー・レベル

$$E = f(R_G)$$

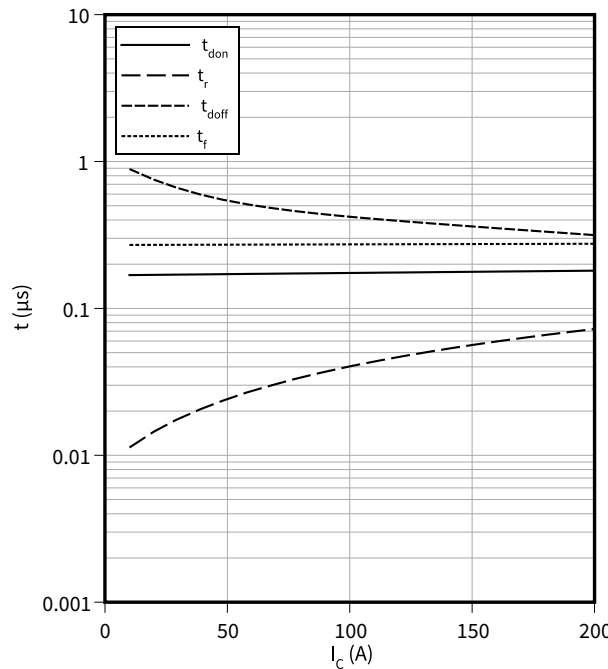
$$I_C = 100 A, V_{CC} = 600 V, V_{GE} = \pm 15 V$$



## スイッチング時間 (typical), IGBT、スリー・レベル

$$t = f(I_C)$$

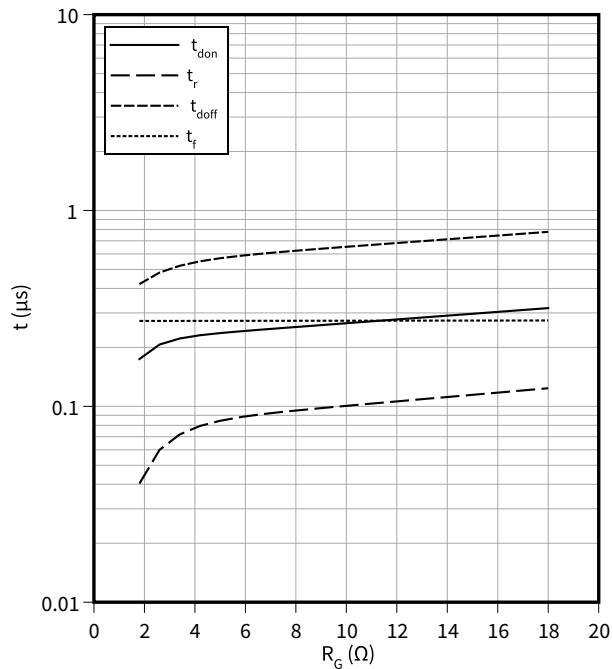
$$R_{Goff} = 1.8 \Omega, R_{Gon} = 1.8 \Omega, V_{CC} = 600 V, V_{GE} = \pm 15 V, T_{vj} = 175^\circ C$$



## スイッチング時間 (typical), IGBT、スリー・レベル

$$t = f(R_G)$$

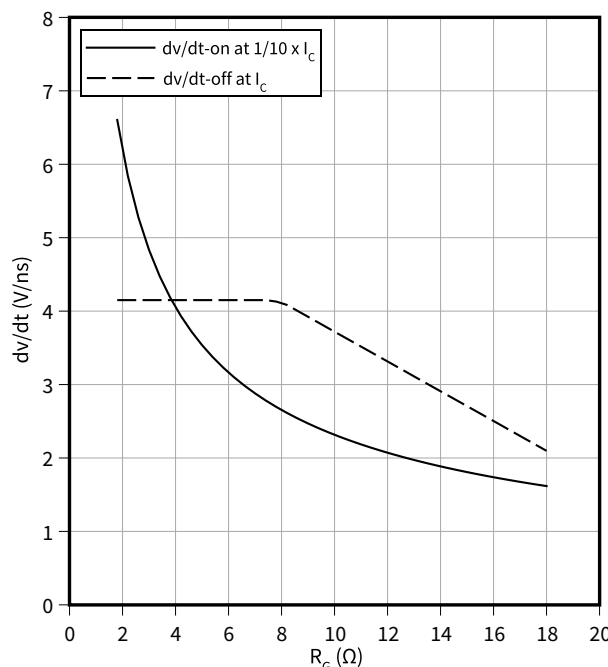
$$I_C = 100 A, V_{CC} = 600 V, V_{GE} = \pm 15 V, T_{vj} = 175^\circ C$$



## 電圧勾配 (typical), IGBT、スリー・レベル

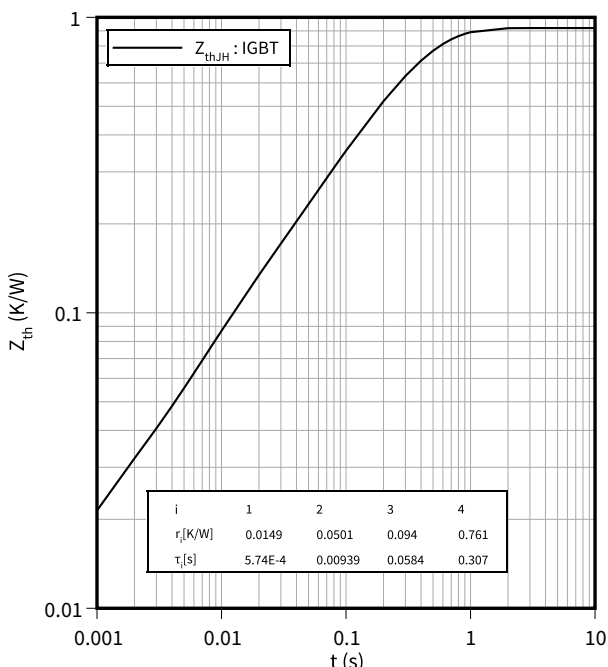
$$dv/dt = f(R_G)$$

$$I_C = 100 \text{ A}, V_{CC} = 600 \text{ V}, V_{GE} = \pm 15 \text{ V}, T_{vj} = 25^\circ\text{C}$$



## 過渡熱インピーダンス, IGBT、スリー・レベル

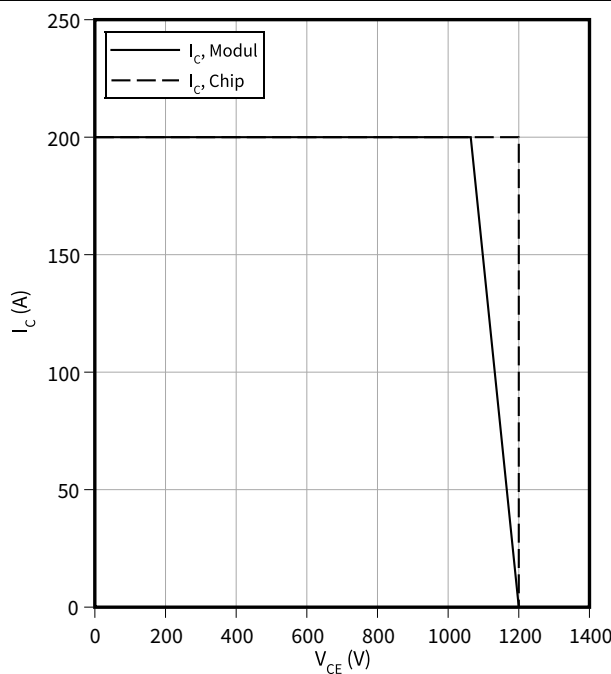
$$Z_{th} = f(t)$$



## 逆バイアス安全動作領域 (RBSOA), IGBT、スリー・レベル

$$I_C = f(V_{CE})$$

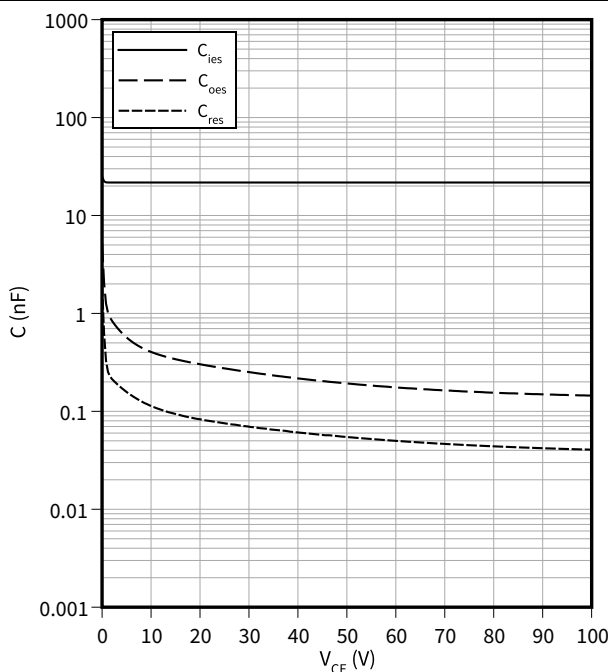
$$R_{Goff} = 1.8 \Omega, V_{GE} = \pm 15 \text{ V}, T_{vj} = 175^\circ\text{C}$$



## 容量特性 (typical), IGBT、スリー・レベル

$$C = f(V_{CE})$$

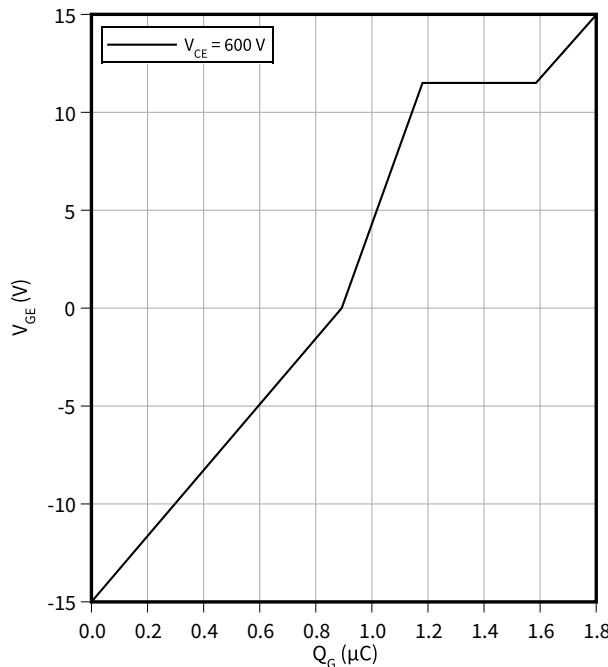
$$f = 100 \text{ kHz}, V_{GE} = 0 \text{ V}, T_{vj} = 25^\circ\text{C}$$



## ゲート充電特性 (typical), IGBT、スリー・レベル

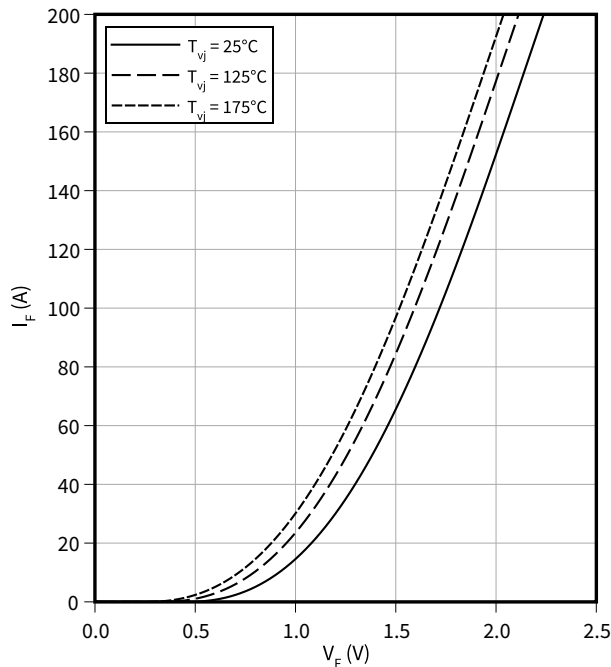
$$V_{GE} = f(Q_G)$$

$$I_C = 100 \text{ A}, T_{vj} = 25^\circ\text{C}$$



## 順電圧特性 (typical), ダイオード、スリー・レベル

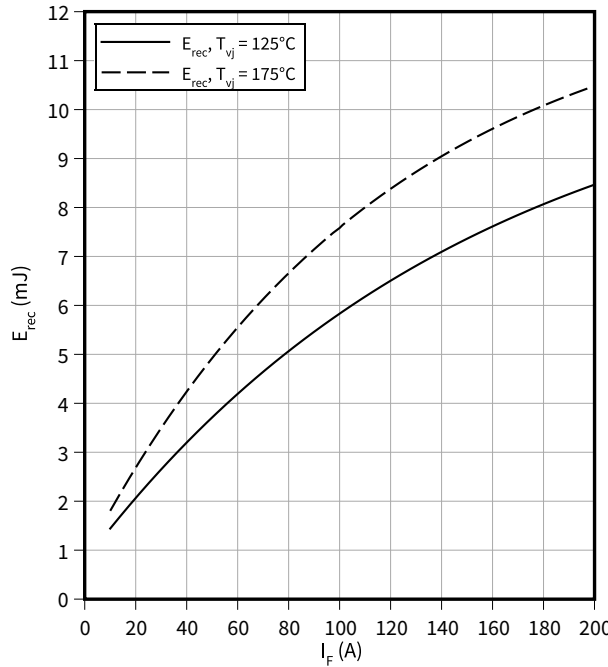
$$I_F = f(V_F)$$



## スイッチング損失 (typical), ダイオード、スリー・レベル

$$E_{rec} = f(I_F)$$

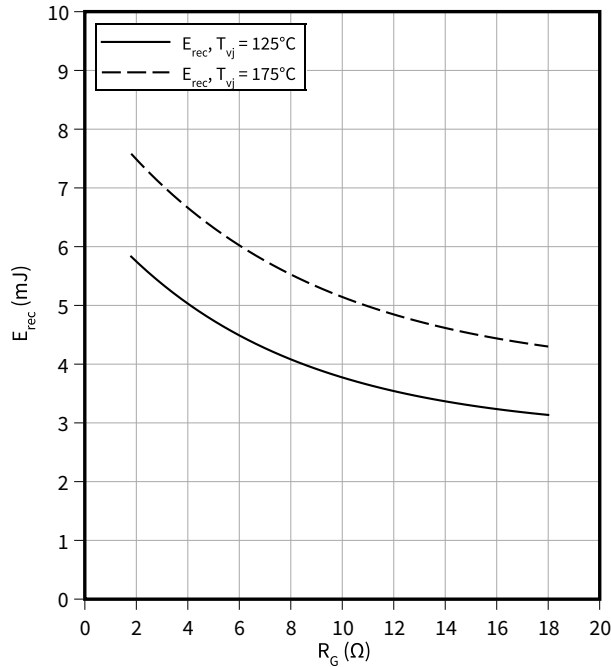
$$R_{Gon} = 1.8 \Omega, V_{CC} = 600 \text{ V}$$



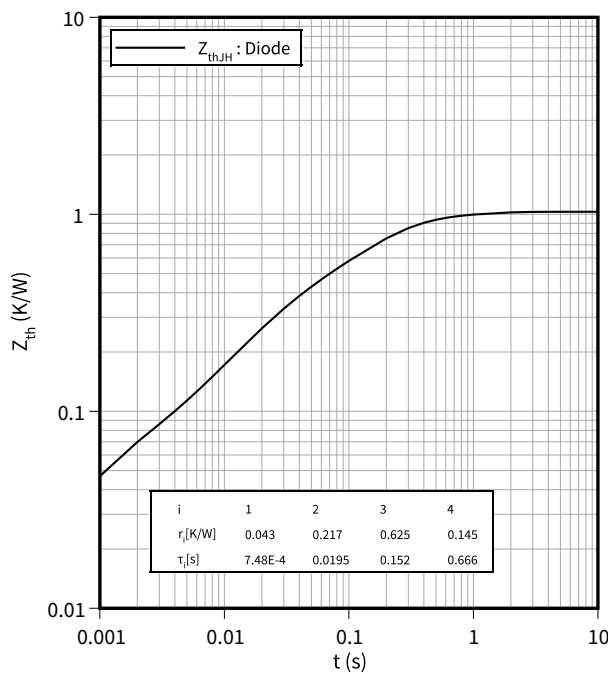
## スイッチング損失 (typical), ダイオード、スリー・レベル

$$E_{rec} = f(R_G)$$

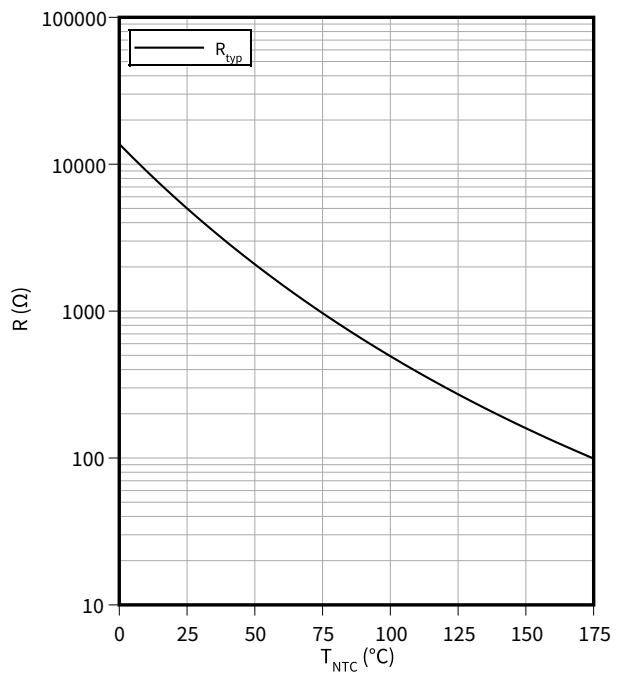
$$I_F = 100 \text{ A}, V_{CC} = 600 \text{ V}$$



過渡熱インピーダンス、ダイオード、スリー・レベル  
 $Z_{th} = f(t)$



サーミスタの温度特性 , NTC-サーミスタ  
 $R = f(T_{NTC})$



8 回路図

8 回路図

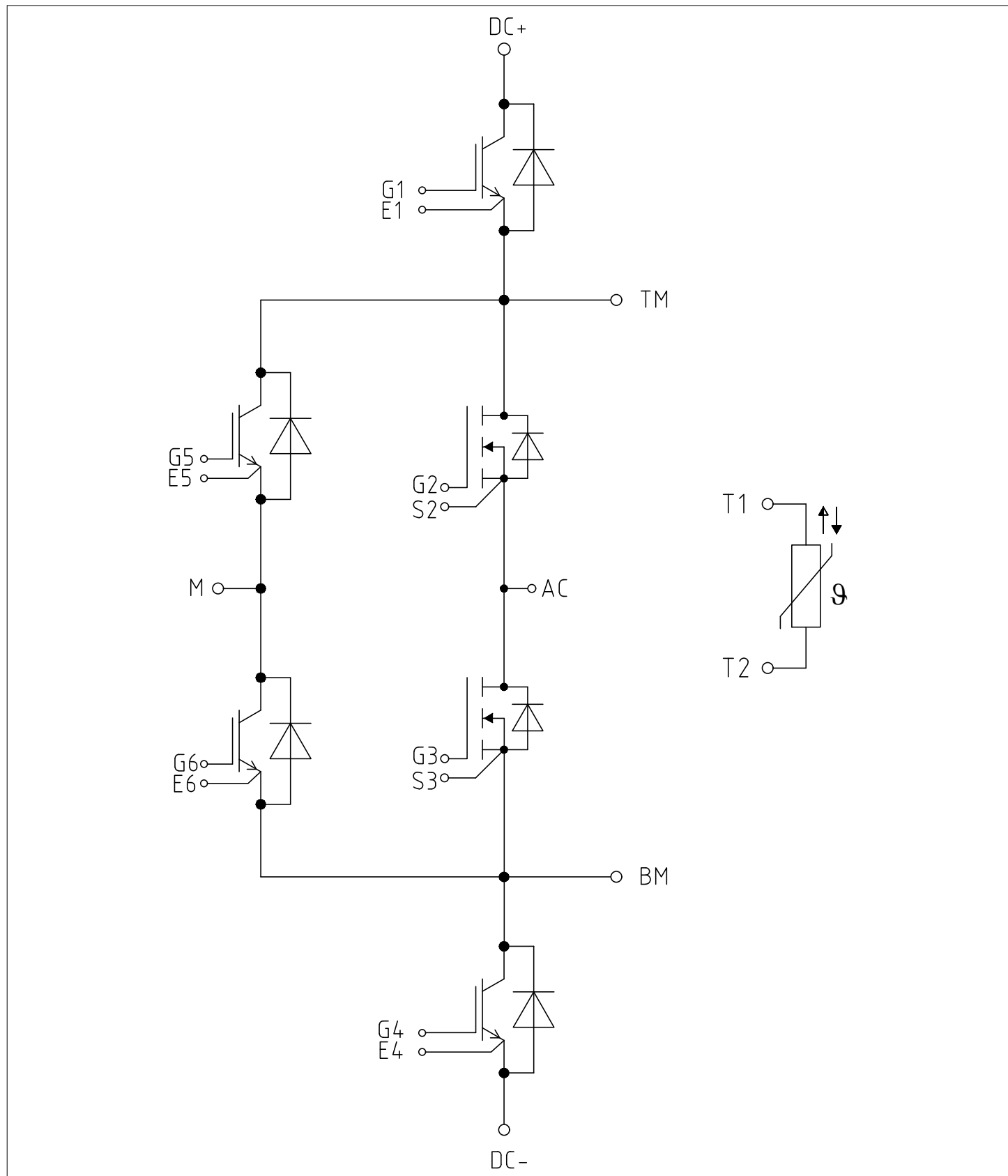


図 1

9 パッケージ外形図

## 9 パッケージ外形図

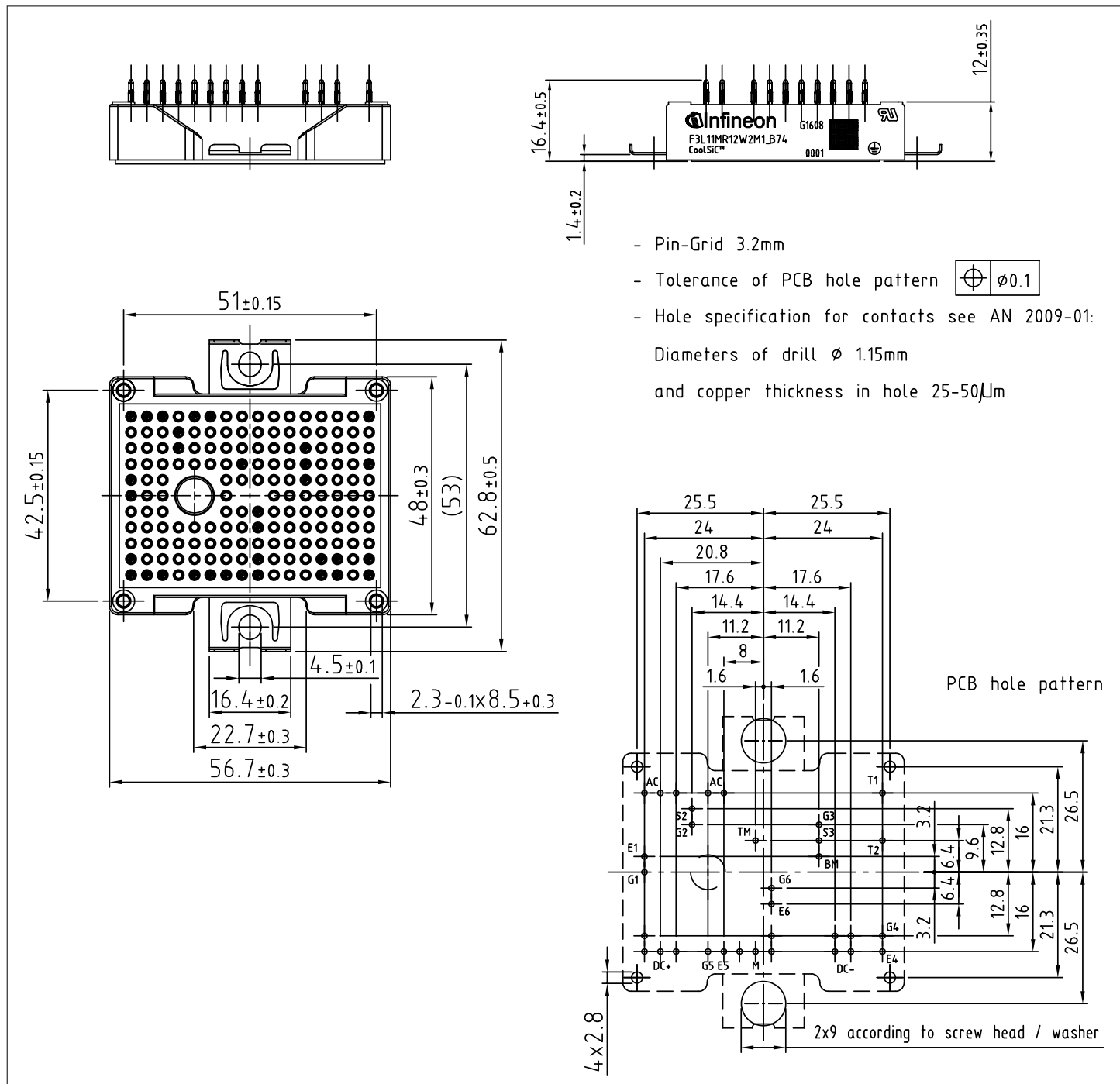


図 2

## 10 モジュールラベルコード

<b>Module label code</b>			
Code format	Data Matrix		Barcode Code128
Encoding	ASCII text		Code Set A
Symbol size	16x16		23 digits
Standard	IEC24720 and IEC16022		IEC8859-1
Code content	<p><i>Content</i></p> <p>Module serial number Module material number Production order number Date code (production year) Date code (production week)</p>	<p><i>Digit</i></p> <p>1 – 5 6 - 11 12 - 19 20 – 21 22 – 23</p>	<p><i>Example</i></p> <p>71549 142846 55054991 15 30</p>
Example			71549142846550549911530

図 3

改訂履歴

## 改訂履歴

文書改訂	発行日	変更内容
V1.0	2020-05-29	Target datasheet
V2.0	2020-09-04	Preliminary datasheet
n/a	2020-09-01	Datasheet migrated to a new system with a new layout and new revision number schema: target or preliminary datasheet = 0.xy; final datasheet = 1.xy
0.20	2022-05-25	Preliminary datasheet

## Trademarks

All referenced product or service names and trademarks are the property of their respective owners.

**Edition 2022-05-25**

**Published by**

**Infineon Technologies AG  
81726 Munich, Germany**

**© 2022 Infineon Technologies AG  
All Rights Reserved.**

**Do you have a question about any aspect of this document?**

**Email: [erratum@infineon.com](mailto:erratum@infineon.com)**

**Document reference  
IFX-AAJ559-003**

## 重要事項

本文書に記載された情報は、いかなる場合も、条件または特性の保証とみなされるものではありません（「品質の保証」）。

本文に記された一切の事例、手引き、もしくは一般的な価値、および／または本製品の用途に関する一切の情報に関し、インフィニオンテクノロジーズ（以下、「インフィニオン」）はここに、第三者の知的所有権の不侵害の保証を含むがこれに限らず、あらゆる種類の一切の保証および責任を否定いたします。

さらに、本文書に記載された一切の情報は、お客様の用途におけるお客様の製品およびインフィニオン製品の一切の使用に関し、本文書に記載された義務ならびに一切の関連する法的要件、規範、および基準をお客様が遵守することを条件としています。

本文書に含まれるデータは、技術的訓練を受けた従業員のみを対象としています。本製品の対象用途への適合性、およびこれら用途に関する本文書に記載された製品情報の完全性についての評価は、お客様の技術部門の責任にて実施してください。

## 警告事項

技術的要件に伴い、製品には危険物質が含まれる可能性があります。当該種別の詳細については、インフィニオンの最寄りの営業所までお問い合わせください。

インフィニオンの正式代表者が署名した書面を通じ、インフィニオンによる明示の承認が存在する場合を除き、インフィニオンの製品は、当該製品の障害またはその使用に関する一切の結果が、合理的に人的傷害を招く恐れのある一切の用途に使用することはできないことを予めご了承ください。